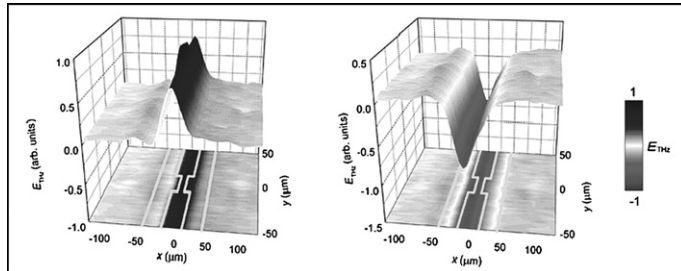


COMPTES RENDUS

PHYSIQUE

Tome 9 (2008) – N° 2



Visualization of ferroelectric domain structure of a BiFeO_3 thin film, probed with terahertz radiation. The domain structure under zero-bias voltage is measured after applying +200 V (left) and -200 V (right). The geometry of the dipole-type gold electrodes is also shown by the yellow line in the two images.
(From Murakami and Tonouchi, this issue.)

Observation par imagerie térahertz du basculement de domaine ferroélectrique dans un film mince de BiFeO_3 . Les images du haut et du bas ont été obtenues sous champ nul après avoir respectivement appliqué une tension positive (+200 V – à gauche) et négative (-200 V – à droite) à l'aide des électrodes représentées en jaune sur la figure. (Murakami et Tonouchi, ce numéro.)

DOSSIER

Recent developments in terahertz optoelectronics / Développements récents en optoélectronique térahertz
Guest editor / Rédacteur en chef invité : Jean-Louis Coutaz

• Foreword	
Jean-Louis Coutaz	127
• THz emission from semiconductor surfaces	
Vitalij L. Malevich, Ramūnas Adomavičius, Arūnas Krotkus	130
• Ion-irradiated $\text{In}_{0.53}\text{Ga}_{0.47}\text{As}$ photoconductive antennas for THz generation and detection at 1.55 μm wavelength	
Juliette Mangeney, Paul Crozat	142
• Electro-absorption sampling at terahertz frequencies in III-V semiconductors	
Jean-François Lampin, Ludovic Desplanque, Francis Mollot	153
• THz near-field measurements of metal structures	
Aurèle J.L. Adam, Janne M. Brok, Paul C.M. Planken, Min Ah Seo, Dai Sik Kim	161
• Laser terahertz emission microscopy	
Hironaru Murakami, Masayoshi Tonouchi	169
• Metamaterials and infra-red applications	
Didier Lippens	184
• Tunable structures and modulators for THz light	
Petr Kužel, Filip Kadlec	197
• The excitation and emission of terahertz surface plasmon polaritons on metal wire waveguides	
Jason A. Deibel, Kanglin Wang, Matthew Escarra, Nicholas Berndsen, Daniel M. Mittleman	215

Sommaire (suite)

- Surface plasmon THz waves on gratings
Maxim Nazarov, Frédéric Garet, Damien Armand, Alexander Shkurinov, Jean-Louis Coutaz 232
- Detection of explosives by Terahertz synthetic aperture imaging—focusing and spectral classification
Alexander Sinyukov, Ivan Zorych, Zoi-Heleni Michalopoulou, Dale Gary, Robert Barat, John F. Federici .. 248
- Continuous-wave terahertz by photomixing: applications to gas phase pollutant detection and quantification
Francis Hindle, Arnaud Cuisset, Robin Bocquet, Gaël Mouret 262